

# ستتر ترکیب بین فلزی نانوساختار $Zr_3Co$ با خاصیت جذب بالا به روش آلیازسازی مکانیکی

علی حیدری مقدم<sup>۱</sup>، حسین یوزباشی زاده<sup>۲\*</sup>، ولی الله دشتی زاده<sup>۳</sup>، علی کفلو<sup>۴</sup>

۱- دانشجوی دکتری، دانشکده مهندسی و علم مواد، واحد علوم تحقیقات، دانشگاه آزاد اسلامی، تهران، ایران

۲- استاد، دانشکده مهندسی و علم مواد، واحد علوم تحقیقات، دانشگاه آزاد اسلامی، تهران، ایران

۳- استادیار، پژوهشکده مواد پیشرفته و انرژی های نو، سازمان پژوهش‌های علمی و صنعتی ایران، تهران، ایران

\*yoozbashi@sharif.edu

(تاریخ دریافت: ۹۳/۰۷/۱۲، تاریخ پذیرش: ۹۳/۰۹/۱۲)

## چکیده

ترکیب جاذب بین فلزی نانوساختار  $Zr_3Co$  به صورت پودر، به دلیل داشتن سطح ویژه بالا، نسبت به جاذب‌های پوششی و بالک دارای ظرفیت بالای جذب گازهای فعال بخصوص گاز هیدروژن می‌باشد. در این تحقیق ترکیب بین فلزی نانوساختار  $Zr_3Co$  به روش آلیازسازی مکانیکی از پودر عناصر اولیه تولید گردید. در فرآیند تولید، نسبت گلوله به پودر ۱:۱۵ و سرعت چرخش کاب آسیاب سیارهای ۳۰۰rpm در نظر گرفته شد. پس از ۱۶ ساعت آسیاکاری، پودر با دانه بندی آمورف، با ترکیب مورد نظر بدست آمد. تغییرات فازی، مشخصات ریز ساختاری و مکانیزم تشکیل ترکیب  $Zr_3Co$  در اثر فرایند آلیازسازی مکانیکی با استفاده از پراش اشعه ایکس (XRD)، میکروسکوپ الکترونی رویشی (SEM)، آنالیز EDS و میکروسکوپ الکترونی عبوری (TEM) مورد بررسی قرار گرفت. نتایج نشان داد که پس از گذشت زمان بهینه آلیازسازی مکانیکی و نیز اعمال فرایند فعالسازی مناسب، پودر ترکیب بین فلزی  $Zr_3Co$  با کریستالیت‌هایی با اندازه ۱۰ تا ۲۰ نانومتر بدست آمد. بررسی ها نشان داد که در مرحله اول، ترکیب بین فلزی  $Zr_3Co$  به واسطه نفوذ اتم‌های کبالت در ساختار زیرکونیوم در اثر آلیازسازی مکانیکی تشکیل می‌گردد. سپس در مرحله دوم با اعمال فرایند فعالسازی بهینه، شکل‌گیری و رشد ترکیب بین فلزی  $Zr_3Co$  در اثر نفوذ اتم‌های زیرکونیوم و کبالت، ادامه می‌یابد.

## واژه‌های کلیدی:

ترکیب بین فلزی  $Zr_3Co$ ، پودر نانوساختار، مواد جاذب، آلیازسازی مکانیکی، فعالسازی، جذب.

## ۱- مقدمه

خالاً بالا و نیز افزایش سرعت ایجاد خالاً، توسعه جاذب‌ها سرعت گرفته و در این راه با چالش‌هایی نیز روبرو بوده است. از جمله این چالش‌ها می‌توان به توان ایجاد یا دستیابی به خالاً مورد نظر، ظرفیت جذب جاذب، حساسیت تجهیزات قرار گرفته در محیط خالاً و غیره اشاره نمود [۱-۲]. به طور کلی جاذب‌ها به

جادب‌ها<sup>۱</sup> موادی هستند که برای جذب گازهای باقیمانده در یک محفظه خالاً به منظور دست یابی به خالهای بالا و نیز نگهداری طولانی مدت خالاً بکار می‌روند. این جاذبهای با مکانیزم جذب سطحی و نفوذ عوامل جذب شده به درون جاذب، عملیات جذب را انجام می‌دهند. با توسعه تکنولوژی و نیاز به

در افزایش ظرفیت جذب خواهد داشت. در تحقیق حاضر سنتز ترکیب بین فلزی  $Zr_3Co$  به عنوان ماده جاذب به روش آلیاژسازی مکانیکی صورت گرفته است. این در حالی است که سنتز ترکیب مذکور به عنوان ماده جاذب تا کنون به این روش  $Zr_3Co$  انجام نشده است. البته در زمینه تولید پوشش‌های نازک  $Zr_3Co$  تحقیقات اندکی وجود دارد [۲۰-۲۱]. از سوی دیگر بررسی نتایج آزمون جذب، موفقیت روش حاضر در راستای تولید جاذب‌های نانو ساختار با ظرفیت جذب بالا را تایید می‌نماید. لازم به ذکر است که، این روش سنتز نسبت به روش‌های دیگر، ساده و از لحاظ اقتصادی مرقوم به صرفه است.

هدف تحقیق حاضر ارائه روشی برای تولید ترکیب خالص بین فلزی نانو ساختار  $Zr_3Co$  به عنوان ماده جاذب بوده و نیز مکانیزم تشکیل این ترکیب در فرایند آسیاکاری و فعالسازی ارائه خواهد شد. علاوه بر این، ریزساختار و مورفولوژی سطح جاذب که مواردی تاثیرگذار در خواص جذب هستند، مورد بررسی قرار خواهند گرفت. لازم به ذکر است که جاذب تولیدی، نسبت به نمونه تجاری دارای خصوصیات جذب بهتری می‌باشد.

## ۲- مواد و روش تحقیق

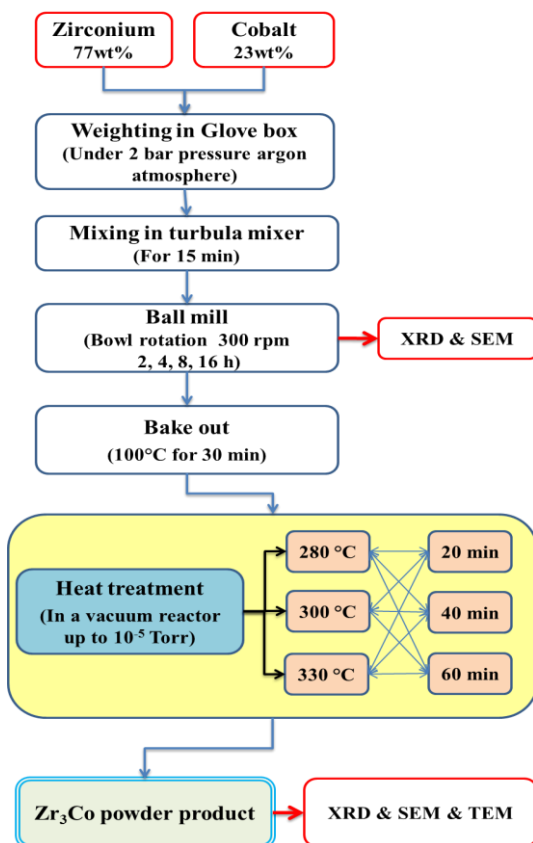
در این تحقیق پودر تجاری زیرکونیوم و کبالت (سیگما آلدریج<sup>۱</sup> با خلوص بالاتر از ۹۹/۹%) به عنوان مواد اولیه مورد استفاده قرار گرفت. میانگین اندازه ذرات زیرکونیوم و کبالت به ترتیب ۱۵۰ و ۲۰۰ میکرومتر بود. فرایند آسیاکاری مکانیکی در زمانهای مختلف تحت اتمسفر گاز آرگون، با خلوص ۹۹/۹۹ درصد، در آسیاب سیاره ای (Retsch PM400) انجام شد. در تمام فرایند آسیاکاری نسبت گلوله به پودر ثابت و برابر ۱۵:۱ و سرعت چرخش کاپ، ۳۰۰ دور در دقیقه انتخاب گردید. به منظور انجام فرایند آسیا کاری، گلوله‌ها و کاپ از جنس فولاد ضد سایش و از گلوله‌هایی با قطر ۱۰ میلیمتر استفاده شد. گلوله‌ها و کاپ مورد استفاده از جنس فولاد DIN 1.2080 بود. فرایند آسیاکاری مخلوط زیرکونیوم و کبالت با نسبت وزنی ۷۷wt% Zr-23wt% Co تحت اتمسفر گاز آرگون در دمای

دو گروه تبخیر شونده (EG)<sup>۲</sup> و غیر تبخیر شونده (NEG)<sup>۳</sup> تقسیم می‌شوند. امروزه جاذب‌های غیر تبخیر شونده برای جذب گازهای فعال باقی مانده در محیط خلا ( $H_2$ , CO,  $CO_2$ ,  $O_2$ ,  $N_2$ ,  $H_2O$ , etc.) گیرنده [۴-۱].

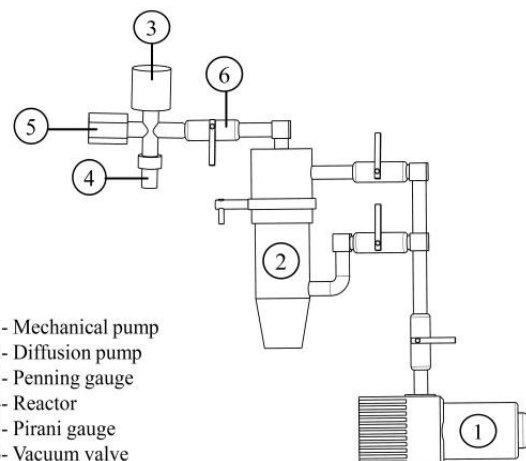
به دلیل شعاع اتمی کم و نیز تحرک بالای اتم‌های هیدروژن، اصلی ترین گاز موجود در تجهیزات خلا، هیدروژن می‌باشد. بنابراین جذب این گاز از اهمیت ویژه ای برخوردار است. فازهای  $A_3B$  با ساختار کریستالی  $Re_3B$  که در سیستم‌های کریستالی پایه زیرکونیوم و هافنیوم شکل می‌گیرند، توانایی بالایی در جذب هیدروژن و تشکیل ترکیب  $A_3BH_7$  (Zr<sub>3</sub>CoH<sub>7</sub>) را دارند [۵-۷]. اگر در ساختار کریستالی این فلزات، حفرات سه گوش منشوری<sup>۴</sup> بوسیله اتمهای فلزات واسطه پر شوند، نظریه ترکیبات  $Zr_3Fe$  یا  $Zr_3Co$ ، سلول واحد به شدت افزایش حجم می‌دهد که موجب افزایش ظرفیت جذب این ترکیبات می‌گردد [۸]. اتمهای هیدروژن در ساختار کریستالی  $Re_3B$  موقعیت‌های تراهدرال را اشغال می‌کنند [۹-۱۰]. از این رو ترکیب  $Zr_3Co$  به دلیل قابلیت بالای جذب هیدروژن و گازهای فعال دیگر، به عنوان ماده جاذب در تجهیزات خلا از قبیل رسیورهای خورشیدی<sup>۵</sup>، سیستم‌های میکرو الکترومکانیک<sup>۶</sup>، پمپ‌های شیمیایی<sup>۷</sup> و غیره کاربرد دارد [۱۱-۱۳].

جادب‌های پایه زیرکونیوم با ترکیب  $Zr_3Co$  قابلیت جذب بازه وسیعی از گازهای مختلف را دارا بوده و علاوه بر این، به دلیل دمای فعالسازی پایین در مقایسه با جاذب‌های دیگر (Ti, Ti-Mo, Ti-Zr-V, Zr-V-Fe or ZrV<sub>2</sub>) در تجهیزات خلا مورد توجه قرار گرفته اند [۱۴-۱۹]. ظرفیت جذب مواد جاذب به شدت به سطح ویژه ماده جاذب وابسته است، بنابراین انتظار می‌رود که مواد جاذب به شکل پودر سینتر شده، دارای ظرفیت جذب بالایی نسبت به جاذب‌های پوشش داده شده و بالک باشند. علاوه بر این، با رفتن به سمت ساختارهای نانو، سطح ویژه افزایش یافته که این امر تاثیر بسیاری

الکترونی عبوری مدل ZEISS, LIBRA200 استفاده گردید. یکی از اهداف تحقیق حاضر بررسی نقش فرایند عملیات حرارتی (فعالسازی) بر خصوصیات جذب پودر جاذب تولیدی می باشد. برای دست یابی به این هدف، یک سیستم آزمایشگاهی برای بررسی خصوصیات جذب، طراحی و ساخته شد (شکل ۱). پس از ۱۶ ساعت آسیاکاری، پودر حاصل با رعایت تمہیدات لازم برای جلوگیری از اکسید شدن پودر، از کاپ خارج و به درون قالب تولید قرص شارژ گردید. به منظور جلوگیری از اکسید شدن پودر حاصل مراحل شامل توزین پودر اولیه، مخلوط سازی، پر کردن و تخلیه کاپ، قالبگیری و تهیه قرص جاذب در گلوباسکس صورت گرفت. لذا به منظور ثابت نگه داشتن چگالی قرص های تولیدی، قالب تولید قرص به گونه ای طراحی و ساخته شد تا حجم قرص ها همیشه ثابت بماند، لذا با ثابت نگه داشتن وزن پودر، قرص هایی با چگالی ثابت ۴ gr/cm<sup>3</sup> تولید گردید.



اتاق در زمانهای مختلف انجام شد. به منظور جلوگیری از انجام واکنشهای ناخواسته مواد اولیه و ترکیب حاصل (به دلیل داشتن خصوصیات جذب) در حین پروسه تولید، تمام فرایندها از جمله توزین پودر، جابجایی و پرس در گلوباسکس<sup>۹</sup> تحت اتمسفر گاز آرگون با فشار ۲ بار انجام شد. به منظور اطمینان از عدم اکسیداسیون نمونه تولیدی قبل از فرایند فعالسازی، گلوباسکس ۴ مرتبه تا فشار ۱۰<sup>-۲</sup> Torr تخلیه شده و مجدداً با گاز آرگون پر شده است. پس از زمان های مشخص فرایند آسیاکاری، به منظور بررسی های فازی از پودر حاصل نمونه گیری شد. از آنجایی که پودر آسیاب شده دارای ساختاری آمورف می باشد، لذا پودر حاصل در زمان ها و دماهای مختلف به منظور تولید ترکیب بین فلزی نانوساختار Zr<sub>3</sub>Co در راکتور (شکل ۱) تحت عملیات حرارتی قرار گرفت. در این شرایط پس از زمان بهینه آسیا کاری و عملیات حرارتی، ترکیب بین فلزی نانوساختار Zr<sub>3</sub>Co به دست آمد. فرآیند تولید ترکیب بین فلزی نانو ساختار Zr<sub>3</sub>Co و نیز شرایط هر مرحله در فلوچارت شکل ۲ نشان داده شده است.



شکل (۱): شماتیک سیستم خلا و راکتور انجام آزمایش به منظور بررسی ساختار ترکیب حاصل از دستگاه XRD مدل Philips X'Pert Pro diffractometer با تابش اشعه X با طول موج Co-Kα استفاده گردید. به منظور بررسی های ریزساختاری پودر حاصل، از میکروسکوپ الکترونی رویشی مدل TESCAN مجهز به آنالیزگر EDS و نیز میکروسکوپ

ترکیب  $Zr_3Co$  افزایش می‌یابد، این در حالی است که از شدت پیک‌های مربوط به عناصر Zr و Co کاسته می‌شود.

جدول (۱): اطلاعات مربوط به ساختار کریستالی  $Re_3B$  [۵]

$Re_3B$			
Structure type(Cmcm)			
a= 289.0 pm			
b= 931.3 pm			
c= 725.8 pm			
V= 0.1953 nm <sup>3</sup>			

Atom Position	x	y	z
4Re(1) in 4(c)	0	9/22=0.409	1/4
8Re(2) in 8(f)	0	3/22=0.136	1/12=0.083
4B in 4(c)	0	0.73	1/4

با ادامه فرایнд آسیاکاری تا ۱۶ ساعت، با ناپدید شدن پیک‌های مربوط به عناصر Zr و Co، الگوی پراش اشعه X آمورف شدن ترکیب پودر آسیا شده را نشان می‌دهد. البته لازم به ذکر است که با بررسی الگوی پراش اشعه X پس از ۱۶ ساعت آسیاکاری، پیک‌های کوچکی که نشانگر حضور ترکیب  $Zr_3Co$  می‌باشد، قابل مشاهده هستند. البته از آنجایی که میزان فاز آمورف زیاد می‌باشد، لذا تشخیص این پیک‌ها مشکل است و نیاز به دقت بالایی دارد. با درنظر گرفتن نتایج به دست آمده از پراش اشعه X، ۱۶ ساعت آسیاکاری، زمان بهینه جهت دست یابی به فاز آمورف و تشكیل ترکیب بین فلزی  $Zr_3Co$  تحت شرایط اعمالی می‌باشد. با مراجعه به دیاگرام فازی Zr-Co نشان داده شده در شکل ۴، می‌توان گفت که حلایت Zr در این صفر بوده و حلایت Co در Zr بسیار کم است [۲۴]. لذا در این سیستم آلیاژی، فرایند آلیاژسازی مکانیکی به واسطه نفوذ Co در Zr انجام می‌پذیرد. با توجه به دیاگرام فازی Zr-Co، اولین ترکیب غنی از Zr، ترکیب  $Zr_3Co$  بوده که به واسطه نفوذ اتمهای Co در شبکه کریستالی Zr شکل می‌گیرد. از این رو تشكیل ترکیباتی نظیر  $Zr_2Co$  و  $ZrCo$  به واسطه فرایند آسیاکاری، حتی در نسبتها مولی برابر پودر اولیه، تقریباً غیر

سپس قرص تولیدی در راکتور انجام آزمایش قرار گرفته و راکتور تا فشار Torr  $10^{-5}$  خلا گردید. به منظور خروج گازهایی که جذب سطح پودر حاصل شده اند، فرایند گاززدایی در دمای  $100^{\circ}C$  به مدت ۳۰ دقیقه انجام گرفت. سپس سیکل عملیات حرارتی (فعالسازی) جاذب در دما و زمان مشخص اعمال شد. پس از اتمام فرایند فعالسازی، راکتور به سرعت تا دمای اتاق خنک شده و با استن شیر خلا و ثبت تغییرات فشار خلا (روش استاتیکی) [۲۲-۲۳]، آزمون جذب بر روی نمونه‌های جاذب انجام شد.

### ۳- نتایج و بحث

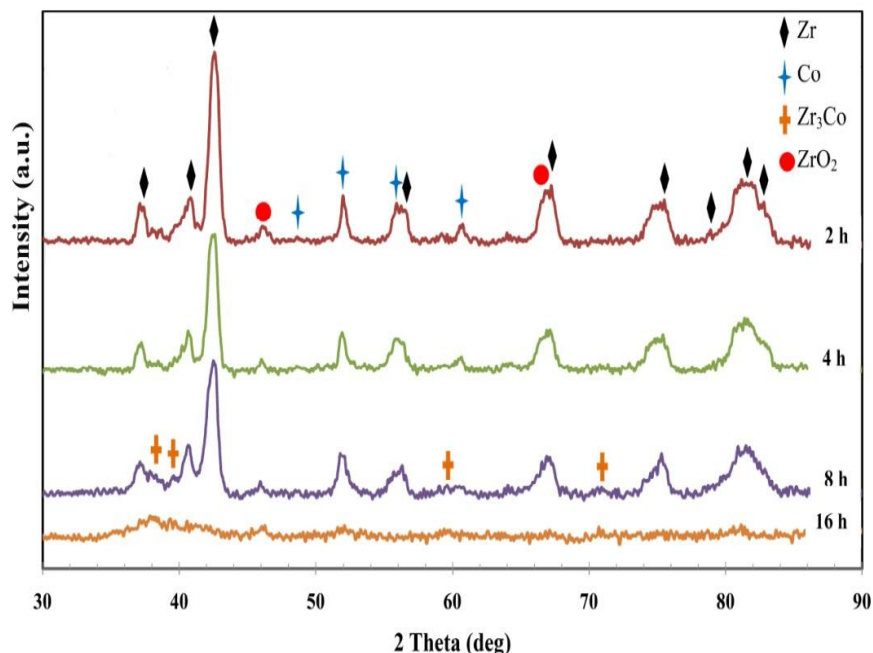
در این قسمت نتایج مختلف به ترتیب آورده و درمورد چرایی آنها بحث می‌شود.

#### ۳-۱- بورسی نتایج XRD

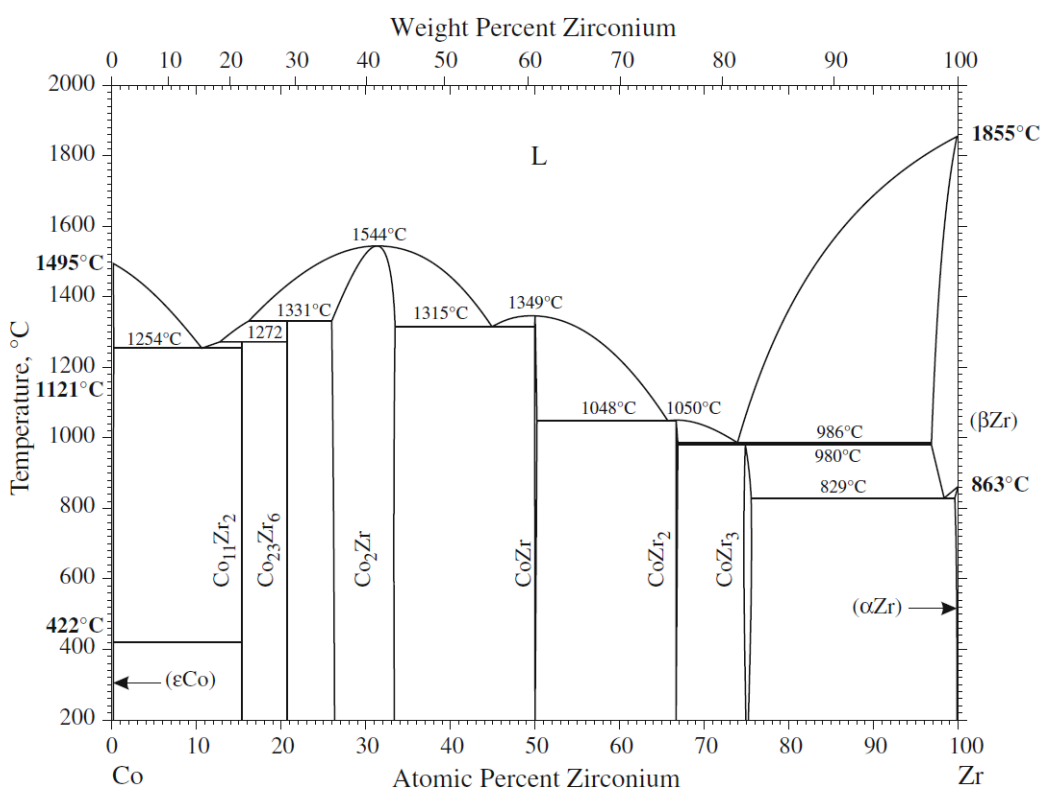
در شکل ۳ الگوی پراش اشعه X ترکیب  $Zr_{77}-Co_{23}$  در زمانهای مختلف آسیاکاری نشان داده شده است. همانگونه که مشاهده می‌شود، الگوی پراش اشعه X ترکیب پودر، پس از ۲ ساعت آسیاکاری دارای پیک‌های بلندتر و تیزتری نسبت به بقیه الگوهای پراش است. با افزایش زمان آسیاکاری تا ۸ ساعت، کاهش شدت و نیز پهن شدگی پیک‌های مربوط به عناصر زیرکونیوم و کبالت، قابل مشاهده است. این امر بیانگر ریز شدن اندازه ذرات و کربیستالیت‌های<sup>۱</sup> پودر و نیز تشكیل فازهای جدید در اثر فرایند آسیاکاری است. علاوه بر این، با بررسی دقیق الگوهای پراش بدست آمده (شکل ۳)، با توجه به شرایط آسیاکاری می‌توان گفت که پس از گذشت ۴ ساعت از فرایند آسیاکاری، پیک‌های مربوط به ترکیب بین فلزی  $Zr_3Co$ ، با آسیاکاری، قابل مشاهده هستند. در جدول ۱ اطلاعات مربوط به این نوع ساختار شامل اندازه پارامترهای شبکه، نوع ساختار کربیستالی و موقعیت قرار گیری اتمها نشان داده شده اند. با افزایش زمان آسیاکاری تا ۸ ساعت، شدت پیک‌های مربوط به

گیرد، تشکیل ترکیب ZrCo تقریباً غیرممکن بوده و این فرایند منجر به تولید ترکیب Zr<sub>3</sub>Co می‌شود [۲۵].

ممکن است. به بیان دیگر اگر به نسبت مولی برابر، پودر عناصر Zr و Co تحت فرایند آسیاکاری و آلیازسازی مکانیکی قرار



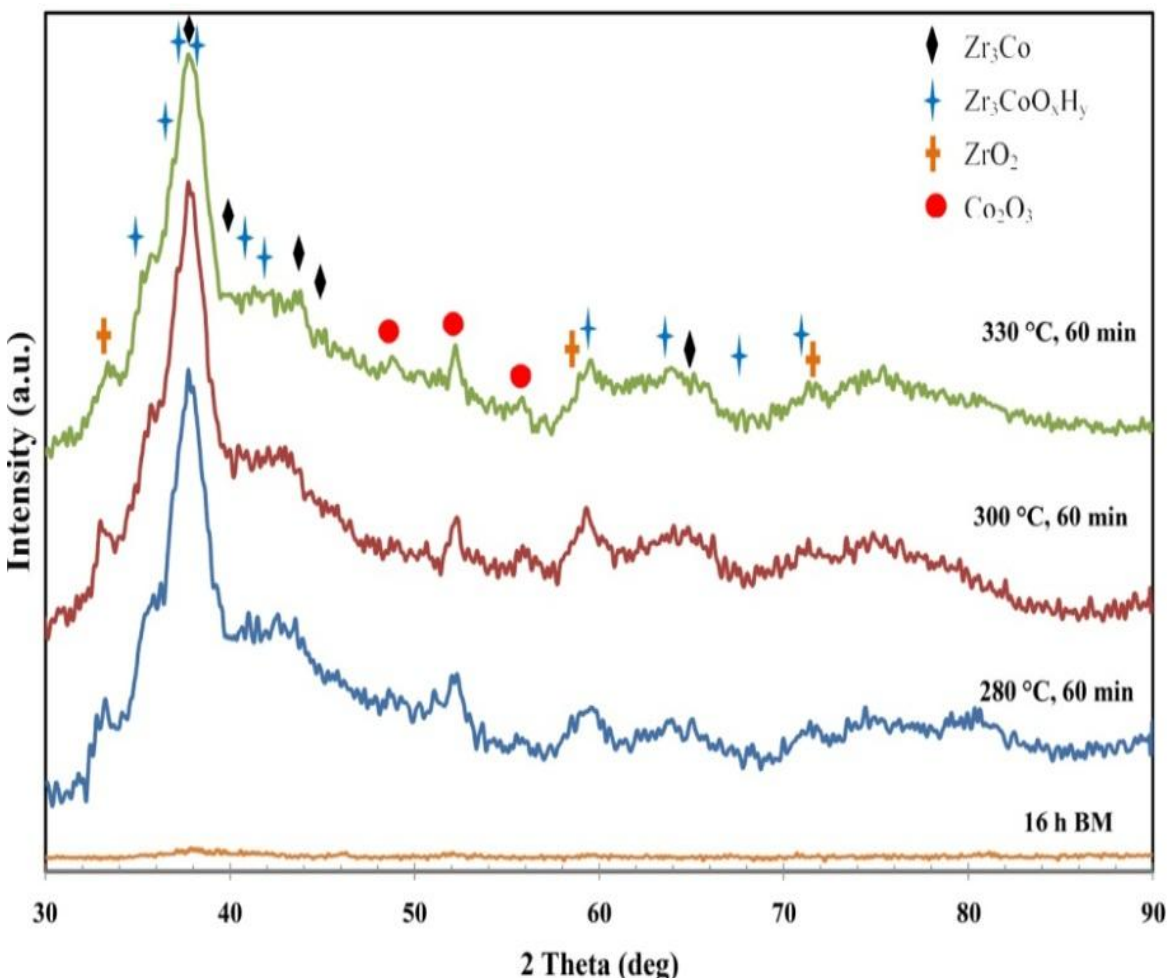
شکل (۳): الگوی تفرق اشعه ایکس ترکیب Zr<sub>77</sub>-Co<sub>23</sub> در زمانهای ۲، ۴، ۸، ۱۶ ساعت آسیاکاری



شکل (۴): دیاگرام فازی ترکیب Zr-Co [۲۶]

در شکل ۵ الگوی پراش اشعه X ترکیب  $Zr_{77}-Co_{23}$  پس از ۱۶ ساعت آسیاکاری و فعال سازی در راکتور خلا در دماهای ۲۸۰ و  $300^{\circ}C$  به مدت ۶۰ دقیقه نشان داده است. در این شکل الگوی پراش نمونه ۱۶ ساعت آسیاکاری شده بدون فرایند فعال سازی به منظور مقایسه هرچه بهتر نیز آورده شده است. همانگونه که مشاهده می شود، پس از ۱۶ ساعت آسیاکاری، پودر ترکیب  $Zr_{77}-Co_{23}$  تقریباً آمورف شده و این نکته ممید این است که شرایط برای تشکیل ترکیبات جدید بواسطه عملیات حرارتی بعدی (فرایند فعال سازی) مهیا گردیده است.

فرایند آسیاکاری، با ایجاد مسیرهای نفوذ سریع از قبیل مرزدانه ها و خطوط نابجایی، باعث افزایش سرعت نفوذ اتمها می گردد [۲۵-۲۸]. لذا با کنترل دما و زمان عملیات حرارتی، می توان به ترکیب  $Zr_3Co$  با ساختار نانو دست یافت. ورود Co در ساختار  $Zr$ ، باعث انبساط شبکه شده و ترکیب  $Zr_3Co$  را با ساختار کریستالی اورتورمیک ایجاد می کند [۷-۸]. این ترکیب با دارا بودن ۳۲ مکان بین نشین از نوع تراهدرال برای جذب گازها، بالاخص هیدروژن بسیار مناسب بوده و ظرفیت جذب بالای دارد [۹-۱۰].



شکل (۵): الگوی پراش نمونه های جاذب فعال شده در زمان ۶۰ دقیقه

$Zr_3CoO_xH_y$  اکسیدی و هیدریدی آن با فرمول شیمیایی  $(0 \leq x \leq 1)$  and  $(0 \leq y \leq 7)$  را در ترکیب جاذب تولیدی نشان می

بررسی الگوی پراش نمونه های جاذب پس از فرایند فعال سازی، وجود ترکیب بین فلزی  $Zr_3Co$  و همچنین ترکیبات

جذب هیدروژن و اکسیژن دارد. در حالتی که دما و زمان فعالسازی مناسب انتخاب گردد، علاوه بر فعال شدن بهتر جاذب، Zr و Co فرصت انجام واکنش ( بواسطه فرایند آسیاکاری قبلی) را داشته و ترکیب Zr<sub>3</sub>Co را ایجاد می نمایند. اما اگر شرایط فعالسازی بهینه و مناسب نباشد، مقداری از Zr و Co فرصت کافی برای تشکیل ترکیب Zr<sub>3</sub>Co را نداشته و در نهایت ترکیبات اکسیدی از قبیل ZrO<sub>2</sub> و ZrO<sub>2</sub>O<sub>3</sub> را تشکیل گیرد. لذا با توجه به الگوهای پراش نشان داده شده در شکل ۵، شدت پیک‌های مربوط به ترکیبات ZrO<sub>2</sub> و Co<sub>2</sub>O<sub>3</sub> با افزایش دمای فعالسازی کاهش یافته و در عوض بر شدت پیک‌های ترکیبات Zr<sub>3</sub>Co و Zr<sub>3</sub>CoO<sub>x</sub>H<sub>y</sub> افزوده می شود.

در ساختار کریستالی Zr، به دلیل اندازه اتم Co، پارامتر شبکه ساختار Zr بزرگتر شده و این امر باعث می شود که سرعت نفوذ اتمها به درون شبکه افزایش یافته و در نهایت تشکیل ترکیب Zr<sub>3</sub>Co با ساختار کریستالی اورتورمبیک آسان تر می گردد. حال می توان گفت که در فرایند فعالسازی با افزایش سرعت نفوذ Co در ساختار کریستالی Zr، باعث تشکیل ترکیب بین فلزی Zr<sub>3</sub>Co می گردد.

به منظور بررسی نقش زمان فعالسازی بر روی تشکیل ترکیب بین فلزی Zr<sub>3</sub>Co، فرایند فعالسازی در زمانهای ۲۰، ۴۰ و ۶۰ دقیقه انجام شد. الگوهای پراش نشان داده شده در شکل ۶ تاثیر زمان فعالسازی بر تشکیل فازهای نمونه های جاذب را به ترتیب در دمایهای ۲۸۰، ۳۰۰ و ۳۳۰ درجه سانتی گراد نشان می دهنند. با بررسی این سه الگوی پراش، می توان گفت که در زمان های کم فعالسازی (نمونه فعال شده در دمای ۲۸۰°C به مدت ۲۰ دقیقه) میزان تشکیل فازهای Zr<sub>3</sub>Co و Zr<sub>3</sub>CoO<sub>x</sub>H<sub>y</sub> کم بوده ولی در عوض پیک‌های مربوط به ترکیبات اکسیدی زیرکونیوم و کبالت دارای شدت بیشتری هستند. با افزایش دما و زمان فعالسازی، میزان تشکیل فازهای Zr<sub>3</sub>Co و Zr<sub>3</sub>CoO<sub>x</sub>H<sub>y</sub> به مرور افزایش می یابد. با افزایش زمان فعالسازی، کریستالیت های ترکیبات مذکور رشد کرده و از میزان آمورف بودن

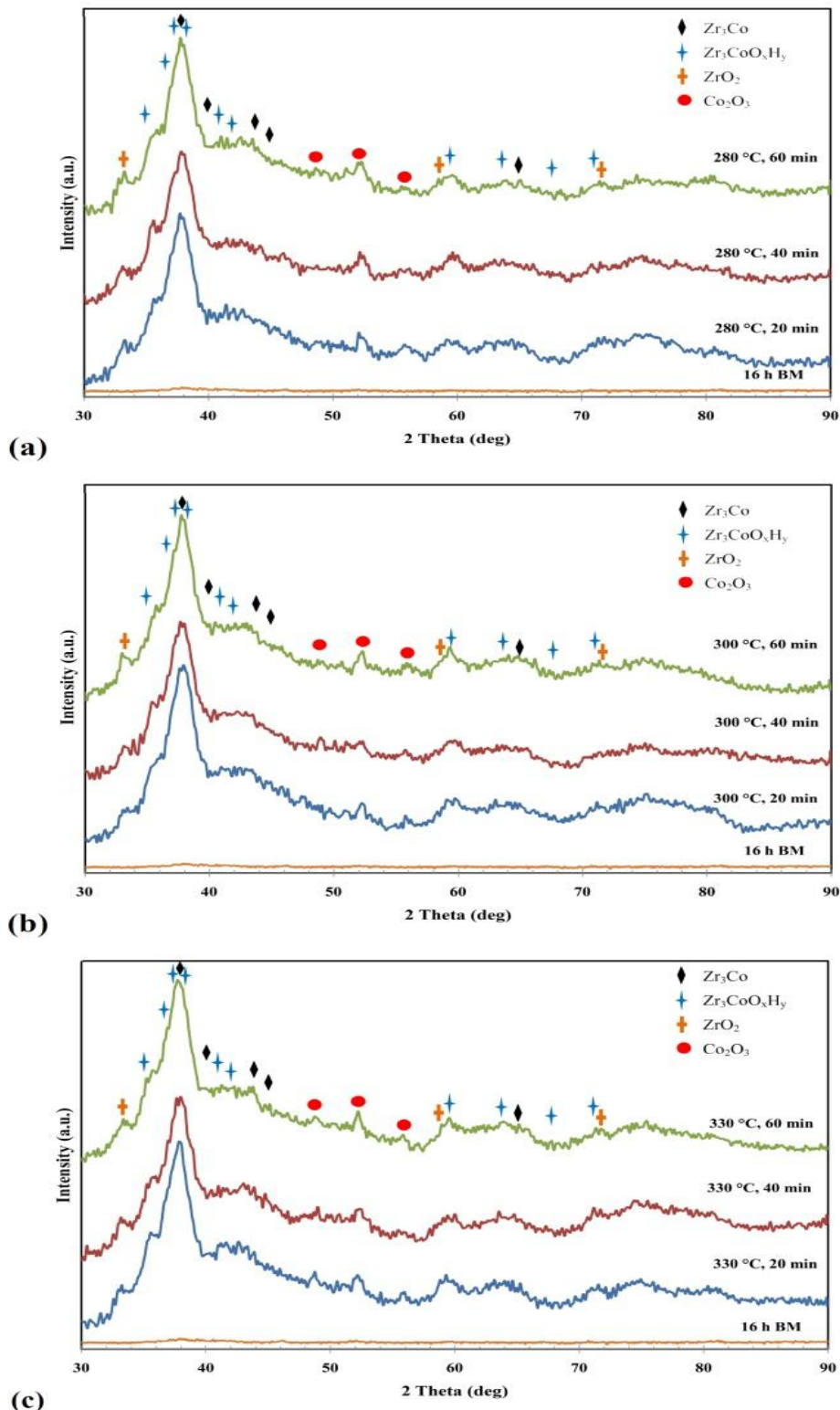
دهد. این فازها، ترکیبات اصلی الگوهای پراش بدست آمده می باشند. در این الگوها پیک موجود در زاویه ۳۷.۸۱° با پیک های اصلی ترکیبات مذکور همخوانی کامل دارد. در اینجا لازم به ذکر است که موقعیت پیک های الگوی پراش ترکیبات Zr<sub>3</sub>CoO<sub>x</sub>H<sub>y</sub> و Zr<sub>3</sub>Co به این امر فرایند فاز یابی و تحلیل الگوهای پراش را دشوار ساخته است.

پس از فرایند آسیاکاری، پودر ترکیب Zr<sub>77</sub>-Co<sub>23</sub>، آمورف شده و تشکیل مقادیر کمی از فاز Zr<sub>3</sub>Co در ترکیب پودر قابل مشاهده است. از آنجایی که پودر آسیاب شده تا مرحله فعال سازی تحت اتمسفر کنترل شده قرار داشته، لذا امکان انجام واکنش با اتمسفر محیط مهیا نگردیده و به واسطه فعالسازی در خلا بالا، ترکیب Zr<sub>3</sub>Co تشکیل شده است. پس از فرایند فعالسازی، به واسطه آزمون جذب و نیز فرایندهای بعدی، نمونه جاذب در معرض اتمسفر محیط قرار گرفته، لذا ترکیب بین فلزی Zr<sub>3</sub>Co که خود دارای خصوصیات جذب بالایی است، با اتمسفر محیط (حاوی اکسیژن و هیدروژن) وارد واکنش شده و ترکیبات اکسیدی و هیدریدی با فرمول شیمیایی Zr<sub>3</sub>CoO<sub>x</sub>H<sub>y</sub> را ایجاد می کند. به بیان ساده تر تشکیل ترکیبات اکسیدی و هیدریدی در نمونه جاذب نهایی، به دلیل فرایندهای بعدی شامل آزمون جذب و حمل و نقل نمونه، پس از فرایند فعالسازی می باشد.

حلالیت اتمهای هیدروژن در فازهای آمورف بیشتر از فازهای کریستالی است [۲۳]. دلیل حلالیت بالاتر فازهای آمورف نسبت به فاز های کریستالی، وجود بی نظمی و نیز وجود حفرات بین نشین بیشتر و بزرگتر می باشد.

در فرایند جذب هیدروژن و اکسیژن (پس از فعالسازی و حذف لایه پسیو سطحی) بر روی سطح ماده جاذب، ملکولهای اکسیژن و هیدروژن بر روی سطح ماده جاذب، جذب شده و سپس به اتمهای سازنده خود تجزیه می شوند. سپس این اتمها به درون لایه های داخلی ماده جاذب نفوذ می کنند. از این رو تغییرات ساختاری رخ داده شده بر روی سطح جاذب تأثیر زیادی بر روی

ترکیب پودر اولیه کاسته می شود. این امر با کاهش پهناه پیک اصلی این ترکیبات در نصف ارتفاع (FWHM) قابل توجیه است.

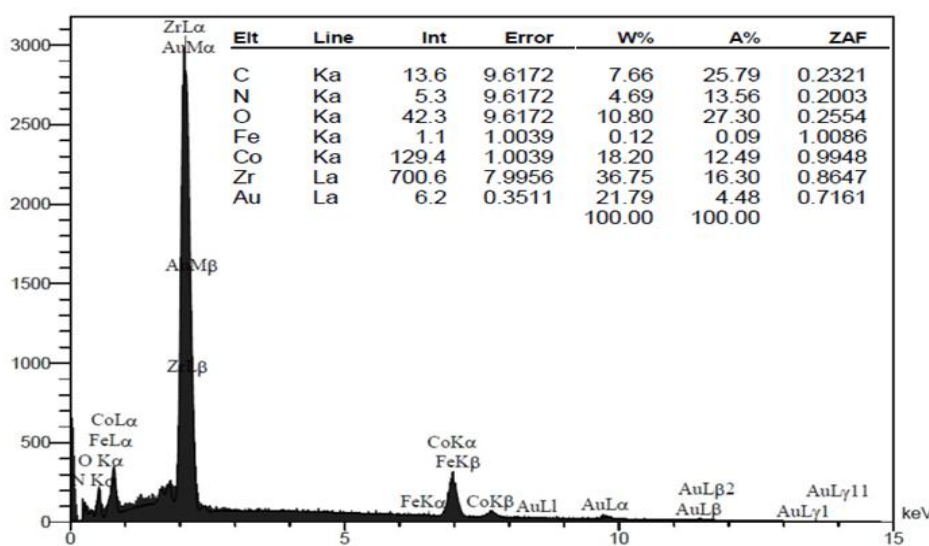
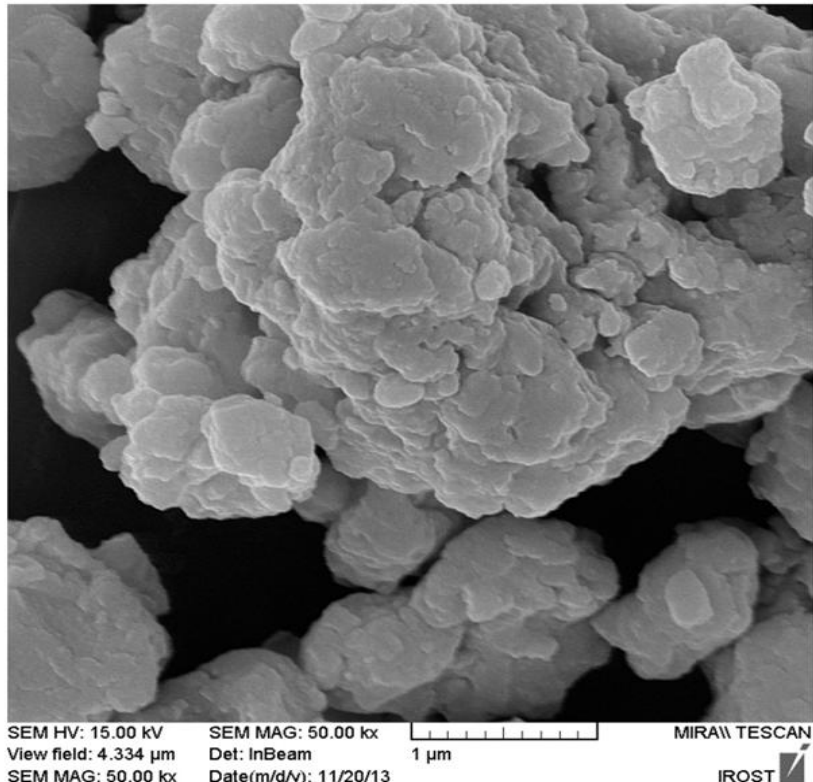


شکل (۶): الگوهای پراش نمونه‌های جاذب فعال شده شرایط مختلف مختلط فعال سازی

آلیاژسازی بروی آنها صورت گرفت. شکل ۷ تصویر SEM و آنالیز EDS پودر ترکیب Zr<sub>77</sub>-Co<sub>23</sub> را پس از ۱۶ ساعت آسیاکاری نشان می دهد.

## ۲-۳- ریزساختار و مکانیزم تشکیل ترکیب بین فلزی Zr<sub>3</sub>Co

در فرایند آلیاژسازی مکانیکی ترکیب جاذب مورد بررسی، مواد آغازین در کاپ دستگاه آسیاب سیاره ای شارژ شده و فرایند

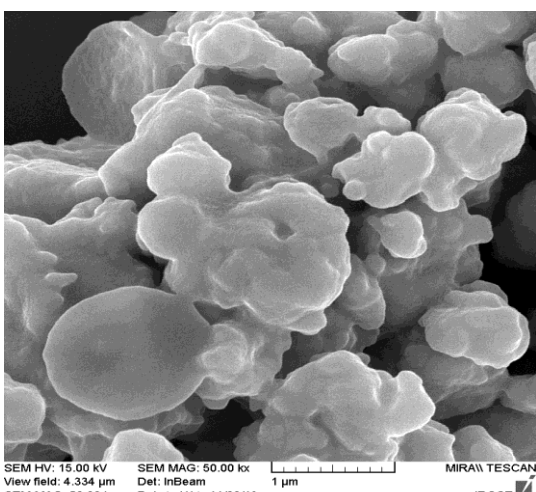


شکل (۷): تصویر SEM و آنالیز EDS نمونه Zr<sub>77</sub>-Co<sub>23</sub> پس از ۱۶ ساعت آسیاکاری

شدیدی قرار می گیرند. این فرایند موجب انتقال جرم بین ذرات پودر شده و نهایتاً با اعمال عملیات حرارتی بعدی منجر به

در طول فرایند آسیاکاری، ذرات پودر Zr و Co به واسطه اعمال ضربه توسط گلوله های آسیاب، تحت تغییر فرم پلاستیسته بسیار

در اینجا لازم به ذکر است که هدف از اعمال سیکل عملیات حرارتی، فرایند فعالسازی نمونه‌ها بوده و سیستر شدن و به هم چسبیدن ذرات در حدی که ذرات قرص جاذب به هم چسبیده و قرص تولیدی از هم نپاشد، کافی است. با اعمال سیکل عملیات حرارتی فرایند فعالسازی، ذرات به صورت سطحی به هم چسبیده و قرص جاذب استحکام قابل قبولی را به دست می‌آورد. از آنجایی که تشکیل ترکیب بین فلزی  $Zr_3Co$  وابسته به نفوذ اتم‌های کیالت در ساختار زیرکونیوم می‌باشد و دمای کلی فرایند به اندازه کافی برای تشکیل پیوندهای متالورژیکی قوی، کافی نیست، لذا منجر به تشکیل محصول آگلومره پودری با باندهای ضعیف و ساختار آمورف می‌شود (رجوع شود به شکل ۷ و نتایج الگوی پراش نشان داده شده در شکل ۳). با اعمال سیکل فعالسازی، تشکیل و رشد ترکیب بین فلزی  $Zr_3Co$  بواسطه فرایند کترنل نفوذی اتمهای کیالت و زیرکونیوم، منجر به تشکیل ساختار متخلل بهم پیوسته ای می‌گردد. زمانیکه دما و زمان فعالسازی افزایش می‌یابد، کریستالیت‌ها زمان کافی برای تشکیل و رشد را خواهند داشت. این واقعیت با کاهش فاکتور FWHM و افزایش شدت پیکهای الگوی پراش اشعه X نمونه‌ها، همخوانی دارد. در فرایند‌های نفوذی ارزش فاکتور دما برای سرعت گرفتن فرایند بیشتر از فاکتور زمان است. لذا فاکتور دما در شکل گیری ترکیب  $Zr_3Co$  موثرتر است [۳۰].



شکل (۸): تصویر SEM نمونه  $Zr_{77}-Co_{23}$  پس از ۱۶ ساعت آسیاکاری و فعال شده در دمای  $280^{\circ}C$  به مدت ۲۰ دقیقه

تشکیل ترکیبات جدید و نیز تغییر فاز ذرات پودر می‌گردد [۲۸-۲۶]. در این میان ذرات پودر بر اساس مراحل زیر دچار تخت شوندگی<sup>۱۱</sup>، جوش سرد<sup>۱۲</sup>، شکست<sup>۱۳</sup> و جوش مجدد<sup>۱۴</sup> می‌گرددند [۲۶ و ۲۹].

۱- جوش سرد و شکست ذرات که موجب مخلوط سازی بهتر عناصر شده و به واسطه آن ترکیبات بین فلزی شکل می‌گیرد (مراجعه کنید به شکل ۷).

۲- بدليل تغییر شکل پلاستیک شدید، مقایص شبکه ای بسیار زیادی از قبیل نابجایی بوجود می‌آید.

۳- نفوذ عناصر درهم بواسطه فرایند آسیاکاری.

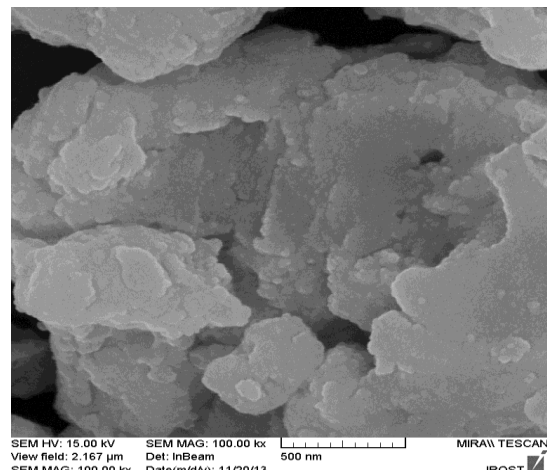
همانگونه که در شکل ۷ نشان داده شده است، می‌توان گفت که مورفولوژی ذرات پس از ۱۶ ساعت آسیاکاری، به صورت آگلومره به هم چسبیده و دارای ابعادی بین یک تا چند میکرون هستند. این آگلومره‌ها شامل ذرات ریزی بوده که به واسطه جوش سرد به هم چسبیده‌اند. آنالیز EDS این آگلومره‌ها حاکی از حضور  $Zr$  و  $Co$  و نیز پیک‌های مربوط به عناصر دیگری می‌باشد. البته در این آنالیز پیک‌های اصلی مربوط به  $Zr$  و  $Co$  هستند. حضور پیک‌های مربوط به عناصر طلا (از پوشش طلا) و آهن (ناشی از سایش کاپ و گلوله‌ها) بواسطه شرایط تولید و نیز آماده سازی نمونه برای SEM است. از سوی دیگر محصول فرایند آسیاکاری بدليل افزایش سطح ویژه، به شدت تمایل به انجام واکنش با اتمسفر محیط را داشته، لذا وجود عناصر اکسیژن، کربن و نیتروژن بنا به دلیل مذکور بواسطه حمل و نقل و جابجایی نمونه پودری در اتمسفر محیط، قبل از آنالیز SEM-EDS می‌باشد. در شکل ۸ تصویر SEM نمونه فعالسازی شده در دمای  $280^{\circ}C$  به مدت ۲۰ دقیقه را نشان می‌دهد. با مقایسه تصاویر نمونه‌های آسیاب شده بدون عملیات حرارتی و این نمونه، می‌توان سیستر شدن ذرات پس از فرایند آسیاکاری و اعمال سیکل فعالسازی را مشاهده نمود. در این شکل اتصال قابل توجه ذرات و تشکیل توده متخلخل، مشاهده می‌شود. لذا می‌توان گفت که پیوندهای متالورژیکی ضعیفی در اثر فرایند فعالسازی این ذرات را در کثیر هم نگه داشته است.

با مطالعه تصاویر SEM می‌توان به این نتیجه رسید که ذرات آمورف تولید شده از فرایند آسیاکاری، به واسطه اعمال دما و زمان (فرایند فعالسازی) شروع به کریستاله شدن می‌کنند. نقصهای شبکه‌ای ایجاد شده در طی فرایند آسیاکاری، انرژی بالایی را در خود ذخیره نموده و لذا پتانسیل بالایی برای هسته گذاری دارند. بدلیل اینکه پراکندگی این محلها بسیار زیاد می‌باشد، لذا کریستالیت‌های Zr<sub>3</sub>Co شروع به جوانه زنی و رشد می‌نمایند. از سوی دیگر تعدد محلهای پر انرژی، باعث می‌شود که مسیرهای نفوذ سریع زیاد بوده و این امر تشکیل و رشد کریستالیت‌های Zr<sub>3</sub>Co را تسريع می‌کند. شایان ذکر است که ترکیب Zr<sub>3</sub>Co نانوساختار بدست آمده، با اندازه کریستالیت هایی بین ۱۰ تا ۲۰ نانومتر و همچنین میزان بسیار بالای مرzedane، برای استفاده به عنوان ماده جاذب، بسیار مناسب است. علاوه بر این در جاذب‌های نانو ساختار، سطح ویژه به شدت افزایش می‌یابد [۳۱-۳۲]، لذا به نظر می‌رسد که ترکیب بین فلزی Zr<sub>3</sub>Co نانو ساختار تولیدی، دارای ظرفیت جذب بالایی باشد. البته نتایج آزمون جذب این مطلب را تایید می‌نماید.

### ۳-۳- خصوصیات جذب جاذب‌های تولیدی

خصوصیات جذب، یکی از مهمترین مشخصه‌های یک جاذب به شمار می‌آید [۲ و ۱۳]. همانگونه که اشاره شد، به منظور انجام آزمون جذب نمونه‌های جاذب، پس از مرحله فعالسازی، ارتباط راکتور انجام آزمایش بوسیله شیر خلا از پمپ خلا قطع گردید و تغییرات افت فشار ثبت شد (روش استاتیک<sup>۱۶</sup>). در شکل ۱۰ نمودار جذب قرص‌های جاذب با ترکیب Zr<sub>77</sub>-Co<sub>23</sub> پس از فرایندهای فعال سازی مختلف نشان داده شده است. به منظور درک هرچه بهتر تاثیر ماده جاذب در حفظ فشار خلا و نیز تعیین میزان نشتی محفظه خلا، تستی پس از اعمال سیکل فرایند فعال سازی (در دمای ۲۸۰°C به مدت ۲۰ دقیقه) بدون حضور جاذب انجام شد. به منظور مقایسه نتایج کار حاضر با نمونه‌های تجاری، جاذب تجاری با ترکیب Zr-Co st787 (Zr<sub>77</sub>-Co<sub>23</sub>) فعال شده در دمای ۳۳۰°C به مدت ۶۰ دقیقه) فعال شده و نتایج آزمون جذب آن

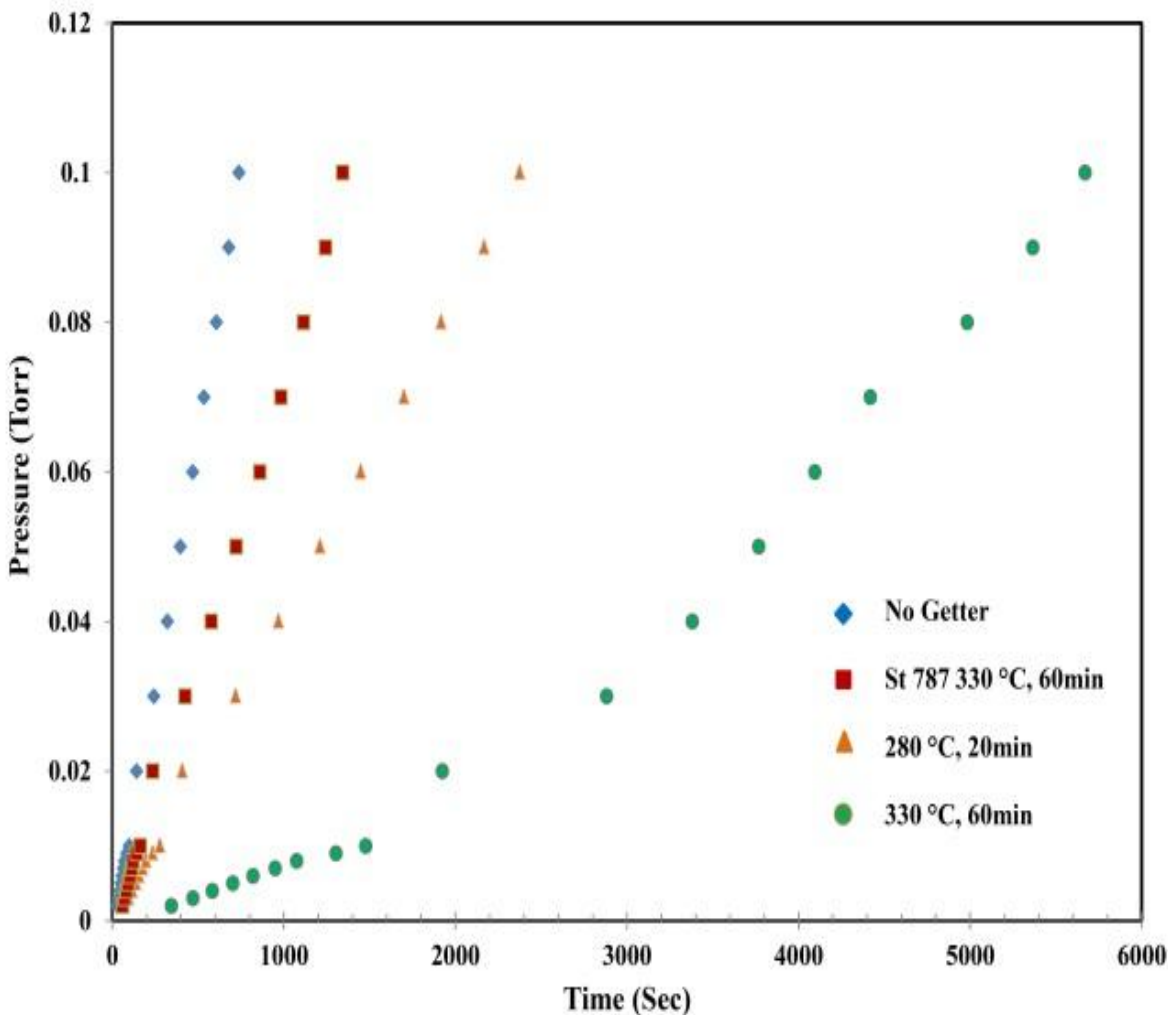
در شکل ۹ تصویر SEM نمونه فعال شده در دمای ۳۳۰°C به مدت ۶۰ دقیقه نشان داده شده است. همانگونه که ملاحظه می‌گردد، با افزایش دما و زمان فعالسازی، می‌توان تشکیل کریستالیت‌ها را بر روی سطح نمونه جاذب مشاهده نمود. با مقایسه تصاویر SEM مربوط به نمونه فعال شده در دمای ۳۳۰°C به مدت ۶۰ دقیقه با تصاویر SEM مربوط به دیگر نمونه‌ها، رشد کریستالیت‌ها در این نمونه بسیار مشهود است. مورفولوژی این نمونه به صورت نانوساختار گل کلمی شکل<sup>۱۵</sup> فشرده می‌باشد. بررسی نتایج XRD و تصویر SEM این نمونه نشان دهنده هسته گذاری و رشد ترکیب بین فلزی Zr<sub>3</sub>Co بر روی سطح نمونه می‌باشد. همانگونه که قبلاً نیز اشاره شد، این فاز برای جذب گازهای فعال بالاخص گاز H<sub>2</sub> بسیار مناسب است. با تشکیل فاز Zr<sub>3</sub>Co بر روی سطح و نیز به دلیل مورفولوژی گل کلمی شکل آن، سطح ویژه و مسیرهای نفوذ سریع افزایش می‌یابد. این امر برای نمونه‌های جاذب امری مثبت به شمار می‌آید. حضور و شکل گیری این کریستالیت‌ها ناشی از وجود مکانهای جوانه زنی زیاد بر روی سطح ذرات جاذب در اثر فرایند آسیاکاری بوده و منجر به ایجاد بسترهای مناسبی با سطح ویژه بسیار بالا با مسیرهای نفوذ سریع مرzedane‌ای، می‌گردد. در نتیجه حضور کریستالیت‌های ریز موجب افزایش ظرفیت جذب ماده جاذب می‌گردد.



شکل (۹): تصویر SEM نمونه Zr<sub>77</sub>-Co<sub>23</sub> پس از ۱۶ ساعت آسیاکاری و فعال شده در دمای ۳۳۰°C به مدت ۶۰ دقیقه

آلیاژسازی مکانیکی به منظور تولید جاذب‌های متخلخل، روش مناسبی بوده و خصوصیات جذب را به واسطه افزایش سطح ویژه و تولید ترکیب نانوساختار افزایش می‌دهد. از سوی دیگر، می‌توان مشاهده نمود که با افزایش دمای فعال سازی خصوصیات جذب (زمان نگهداری خلاء) افزایش می‌یابد.

با نمونه‌های تولیدی در کار حاضر مورد مقایسه قرار گرفت. در شکل ۱۰ نتایج آزمون جذب نمونه‌های جاذب نشان داده شده است. همانگونه که ملاحظه می‌گردد، نمونه‌های تولید شده در کار حاضر، به مراتب دارای خصوصیات جذب بالاتری نسبت به نمونه تجاری st787 هستند (بیش از  $4/3$  برابر زمان نگهداری خلاء ببود یافته است). لذا نتایج نشان می‌دهد که فرایند



شکل (۱۰): نمودار مقایسه آزمون جذب در شرایط مختلف

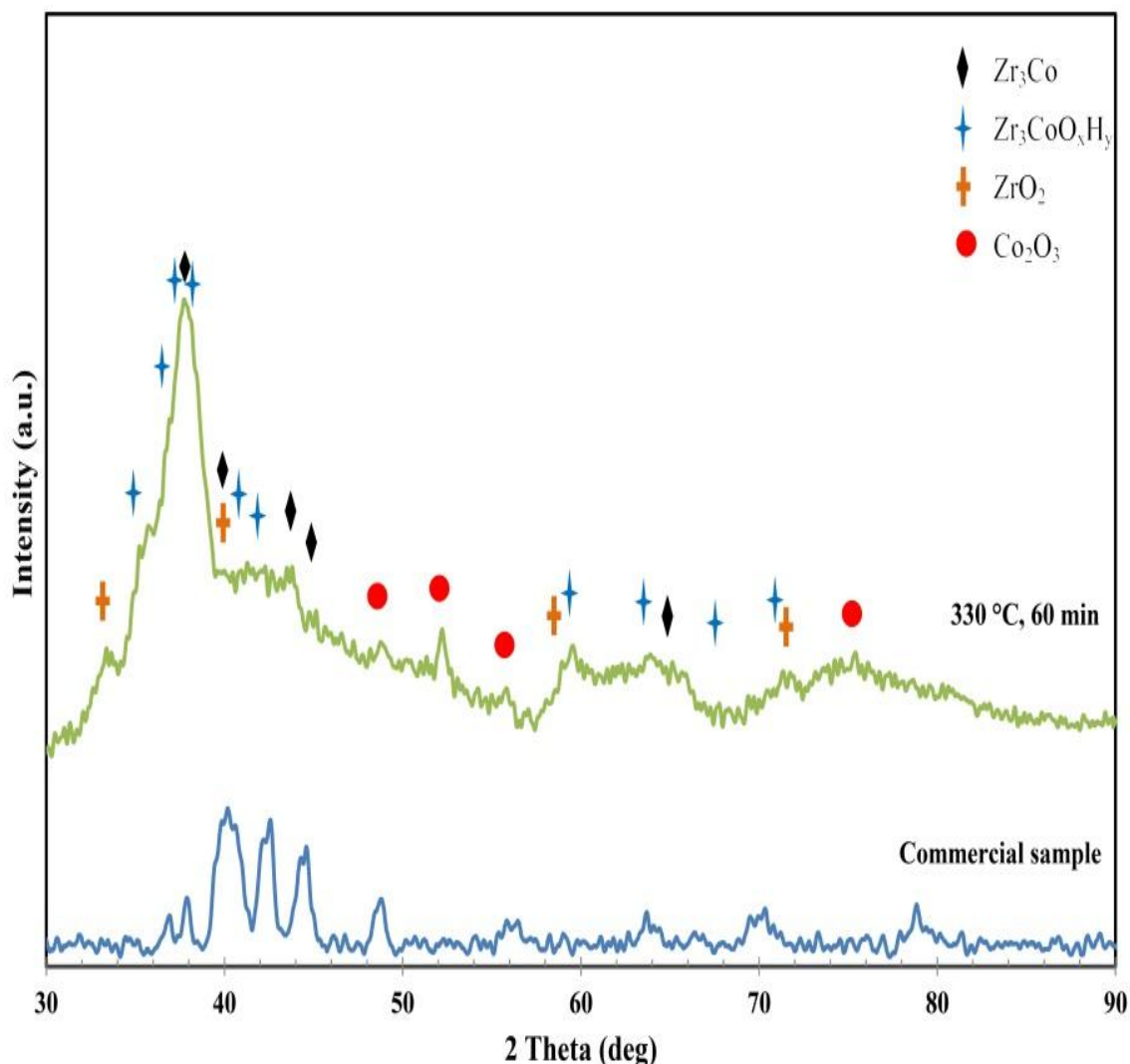
نشان داده شده است که در پودرهای نانو ساختار نسبت به پودرهای میکرونی، سطح ویژه به شدت افزایش می‌یابد [۳۲]، به نظر می‌رسد که یکی از دلایل افزایش خصوصیات جذب ترکیب بین فلزی  $Zr_3Co$  بدست آمده در این تحقیق نسبت به نمونه تجاری مشابه، بدلیل نانوساختار بودن ترکیب بدست آمده می‌باشد.

با بررسی نتایج بدست آمده، می‌توان به این نکته اشاره نمود که وقتی گازهای فعال بصورت فیزیکی یا شیمیابی جذب سطح جاذب می‌گردد، لایه ای از این عناصر بر روی سطح جاذب شکل می‌گیرد، حال نفوذ این عناصر به درون جاذب فاکتور کنترل کننده فرایند جذب به حساب می‌آید.

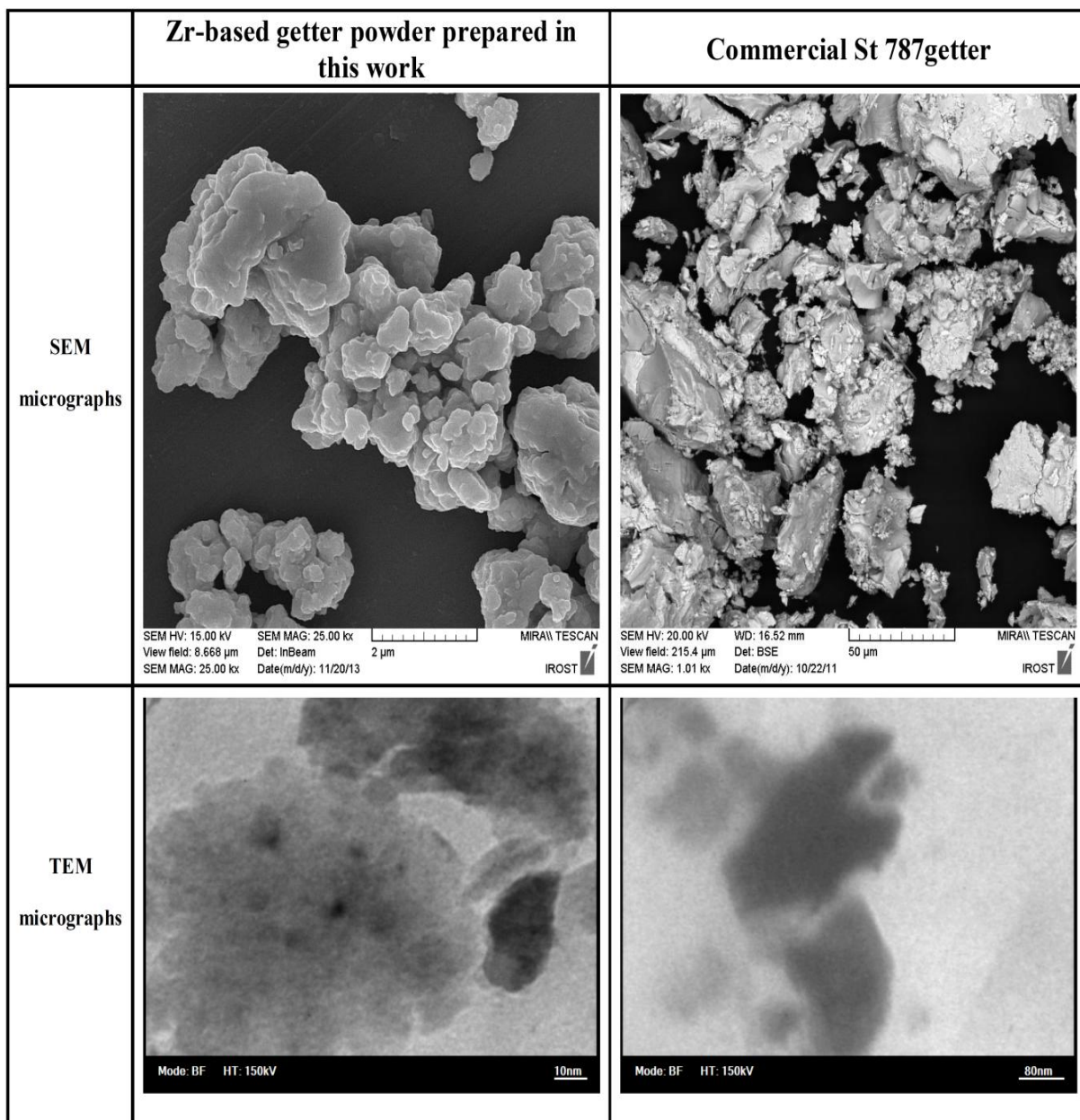
الگوی پراش نشان داده شده در شکل ۱۱، حضور پیکهای پهن در نمونه بهینه نشان دهنده وجود ساختار ریزتر در مقایسه با نمونه تجاری است. با اندازه گیری اندازه کریستالیت های پودرهای حاصل با استفاده از روش شر<sup>۱۷</sup>، اندازه کریستالیت های نمونه بهینه حدود ۵nm و برای نمونه تجاری ۶۵nm بدست آمد. تصویر TEM نشان داده شده در شکل ۱۲، نشان دهنده نانوساختار بودن ترکیب جاذب بهینه نسبت به نمونه تجاری است، لذا روش حاضر منجر به تولید کریستالیت هایی با ابعاد نانومتری با خصوصیات جذب بالا شده است.

سطح ویژه پودر سنتز شده پس از فعالسازی در دمای ۳۳۰°C به مدت ۶۰ دقیقه و نمونه تجاری با روش BET اندازه گیری شد و به ترتیب مقادیر سطح ویژه ۸۳/۱ و ۹/۹m<sup>2</sup>/gr بدست آمد. این نتیجه نشان می دهد که روش ارائه شده در این تحقیق باعث افزایش بسیار زیاد سطح ویژه نسبت به نمونه تجاری گردیده است.

در شکل ۱۱ و ۱۲ به ترتیب مقایسه الگوی پراش اشعه X و تصاویر SEM و TEM نمونه بهینه فعال شده در دمای ۳۳۰°C به مدت ۶۰ دقیقه و نمونه تجاری نشان داده شده اند. با بررسی



شکل (۱۱): مقایسه الگوی پراش جاذب بهینه و نمونه تجاری



شکل (۱۲): مقایسه تصاویر SEM و TEM نمونه بهینه و نمونه تجاری

پس از ۱۶ ساعت آسیاکاری پودر جاذب آمورف شده و پیکهای کوتاهی از ترکیب  $Zr_3Co$  نمایان می‌گردد.

۲- فرایند آلیاژسازی مکانیکی روشی موفق برای تولید ترکیب بین فلزی نانوساختار  $Zr_3Co$  به واسطه فرایند فعال سازی می‌باشد. در اثر انجام فرایند فعالسازی بر روی قرص نمونه جاذب در دمای بالا، شرایط برای تشکیل فاز  $Zr_3Co$  مهیا شده و میزان

#### ۴- نتیجه گیری

در این تحقیق سنتز و مشخصه یابی ترکیب بین فلزی  $Zr_3Co$  مورد مطالعه قرار گرفته است. با بررسی نتایج بدست آمده می‌توان به موارد زیر دست یافت.

- با انجام فرایند آسیاکاری بر روی نمونه جاذب، پودر ماده جاذب به سمت ریز شدن و نهایتاً آمورف شدن پیش می‌رود.

- “Hydrogen-induced changes in crystal structure and magnetic properties of the Zr<sub>3</sub>MO<sub>x</sub> (M = Fe, Co) phases”, J Alloys Compd, Vol. 386, pp. 26–34, 2005.
- [8] R. Pottgen, M. Lukachuk & R. Hoffmann, “Re<sub>3</sub>B type intermetallics–crystal chemistry, bonding and properties”, Z Kristallogr, Vol. 221, pp. 435–44, 2006.
- [9] SF. Matar, “Drastic changes of electronic, magnetic, mechanical and bonding properties in Zr<sub>2</sub>Co by hydrogenation”, Intermetallics, Vol. 36, pp. 25–30, 2013.
- [10]SF. Matar, “Drastic changes in electronic, magnetic, mechanical and bonding properties from Zr<sub>2</sub>CoH<sub>5</sub> to Mg<sub>2</sub>CoH<sub>5</sub>”, J Solid State Chem, Vol. 200, pp. 209–214, 2013.
- [11]SAES Getter, “Technical report. St 171 and St 172 sintered porous Getters”.
- [12]SAES Getter, “Technical report. St 101 none-evaporable Getters”.
- [13]SAES Getter, “Technical report. St 707 none-evaporable Getters activatable at low temperatures”.
- [14]M. Coleman, D. Chandra, J. Wermer, TJ. Udovic, “Zirconium iron disproportion during hydriding reactions in nuclear gettering operation”, Adv Mater Energy Convers II. TMS (The Minerals, Metals & Materials Society), 2004.
- [15]EJ. Larson, KJ. Cook, JR. Wermer & DG. Tuggle, “Nitriding reactions with a Zr–Mn–Fe metal getter”, J Alloys Compd, Vol. 330–332, pp. 897–901, 2002.
- [16]SAES Getter, “Technical report. CapaciTorr Pumps-MK5 Series”.
- [17]L. Detian & C. Yongjun, “Applications of non evaporable getter pump in vacuum metrology”, Vacuum, Vol. 85, pp. 739–743, 2011.
- [18]H. Londer, GR. Myneni, P. Adderley, G. Bartlok & W. Knapp, “New high capacity getter for vacuum insulated mobile LH<sub>2</sub> storage tank systems”, Vacuum, Vol. 82, pp. 431–434, 2008.
- [19]G. Valdre, D. Zucchini, R. Berti, A. Costa & A. Alessandrini, “Nitrogen sorption tests, SEM-windowless EDS and XRD analysis of تشکیل این ترکیب با افزایش دما و زمان فعال سازی، افزایش می یابد.
- ۳- نتایج بررسی های ساختاری و ریزساختاری نشان داد که با افزایش دما و زمان فعال سازی، کریستالیت های Zr<sub>3</sub>Co با سطح ویژه بالا تشکیل می گردد.
- ۴- بررسی نتایج آزمون جذب نشان داد که مدت زمان نگهداری خلا توسط نمونه جاذب فعال شده در دمای ۳۳۰°C به مدت ۶۰ دقیقه، نسبت به نمونه فعال شده در دمای ۲۸۰°C به مدت ۲۰ دقیقه، بیش از ۲/۳ برابر افزایش یافته است.
- ۵- با بررسی نتایج آزمون جذب مشخص گردید که نمونه بهینه تولید شده در کار حاضر (فعال شده در دمای ۳۳۰°C به مدت ۶۰ دقیقه)، نسبت به نمونه تجاری مشابه (st787) فعال شده در دمای ۳۳۰°C به مدت ۶۰ دقیقه)، بیش از ۴/۳ برابر زمان نگهداری خلا را بهبود بخشدیده است.
- ## ۵- مراجع
- [1] C. Benvenuti, “Non-evaporable getters: from pumping strips to thin film coatings”, In: Proc. Of EPAC-1998, Stockholm, Sweden, pp. 200, 1998.
  - [2] B. Ferrario, “Chemical pumping in vacuum technology” Vacuum, Vol. 47, pp. 363-370, 1998.
  - [3] C. Benvenuti, P. Chiggiato, F. Cicoria & V. Ruzinov, “Nitriding decreasing surface outgassing by thin film getter coatings”, Vacuum, Vol. 50, pp. 57–63, 1998.
  - [4] Y. Zhang, XY. Wei, CH. Mao, TF. Li & P. Yuan, “Preparation and pumping characteristics of Ti-7.5 wt. % Mo getter”, J Alloys Compd, Vol. 485, pp. 200–203, 2009.
  - [5] B. Chabot & E. Parthe, “Sc<sub>3</sub>Co, a new structure type related to Fe<sub>3</sub>C and Re<sub>3</sub>B by periodic unit-cell twinning”, Acta Cryst, Vol. B34, pp. 3173–3177, 1978.
  - [6] AE. Dwight & TE. Klippert, “Variants of Zr<sub>3</sub>Co and their superconducting critical temperature”, Mat Res Bull, Vol. 13, pp. 595–598, 1978.
  - [7] IY. Zavaliv, RV. Denys, R. Černý, IV. Koval'chuk, G. Wiesinger & G. Hilscher,

- [30] R. Ashiri, "A Mechanistic study of nanoscale structure development, phase transition, morphology evolution, and growth of ultrathin barium titanate nanostructured films", *Metall Mat Trans A*, Vol. 45, pp. 4138–4154, 2014.
- [31] R. Ashiri, "From inorganic/organic nanocomposite based on chemically hybridized CdS-TGA to pure CdS nanoparticles", *J Ind Eng Chem*, DOI: 0.1016/j.jiec.2014.05.002.
- [32] R. Ashiri, A. Moghtada & R. Ajami, "Sonochemical synthesis of SrTiO<sub>3</sub> nanocrystals at low temperature", *Int J Appl Ceram Technol*, DOI:10.1111/ijac.12315, in press.

## ۶- پی نوشت

- [1] Getters
- [2] Evaporable Getter
- [3] Non Evaporable Getter
- [4] Trigonal prismatic voids
- [5] Solar parabolic receiver
- [6] Micro electro mechanic systems (MEMS)
- [7] Chemical pumping
- [8] Sigma Aldrich
- [9] Glove Box
- [10] Crystallite
- [11] Flattend
- [12] Cold weld
- [13] Fracture
- [14] Reweld
- [15] Cauliflower-like
- [16] Static method
- [17] Scherrer

- mechanically alloyed nanocrystalline getter materials", *Nanostruc Mater*, Vol. 11, pp. 821–829, 1999.
- [20] D. Petti, M. Cantoni, M. Leone, R. Bertacco & E. Rizzi, "Activation of Zr-Co-rare earth getter films: An XPS study" *Appl Surf Sci*, Vol. 256, pp. 6291–6296, 2010.
- [21] JG. Bu, CH. Mao, Y. Zhang, XY. Wei & J. Du, "Preparation and sorption characteristics of Zr-Co-RE getter films", *J Alloys Compd*, Vol. 529, pp. 69–72, 2012.
- [22] Y. Hongyan, W. Jinku & G. Chuxi, "The improvement of the volume ratio measurement method in static expansion vacuum system", *Physics Procedia*, Vol. 32, 492–497, 2012.
- [23] P. Jeshin, W. Kim & M. Won, "Hydrogen sorption in zirconium and relevant surface phenomena", *Mater Trans*, Vol. 48, pp. 1012–1016, 2007.
- [24] H. Okamoto, "Co-Zr (Cobalt-Zirconium)", *JPEDAV*, Vol. 32, pp. 169–170, 2011.
- [25] NC. Abhik, R. Vivek, V. Udhayabhanu & BS. Murty, "Influence of heat of formation of B2/L12 intermetallic compounds on the milling energy for their formation during mechanical alloying", *J Alloys Compd*, Vol. 465, pp. 106–112, 2008.
- [26] EIC. Suryanarayana & VV. Boldyrev, "The science and technology of mechanical alloying", *Mater Sci Eng A*, Vol. 304–306, pp. 151–158, 2001.
- [27] M. Alizadeh, G. Mohammadi, GHA. Fakhrabadi & MM. Aliabadi, "Investigation of chromium effect on synthesis behavior of nickel aluminide during mechanical alloying process", *J Alloys Compd*, Vol. 505, pp. 64–69, 2010.
- [28] AH. Molladavoudi, S. Amirkhanlou, M. Shamanian & F. Ashrafizadeh, "The production of nanocrystalline cobalt titanide intermetallic compound via mechanical alloying", *Intermetallics*, Vol. 29, pp. 104–109, 2012.
- [29] AH. Taghvaei, M. Stoica, G. Vaughan, M. Ghaffari, S. Maleksaeedi & K. Janghorban, "Microstructural characterization and amorphous formation in Co<sub>40</sub>Fe<sub>22</sub>Ta<sub>8</sub>B<sub>30</sub> powders produced by mechanical alloying", *J Alloys and Compd*, Vol. 512, pp. 85–93, 2012.